

**Zeitschrift:** Plan : Zeitschrift für Planen, Energie, Kommunalwesen und Umwelttechnik = revue suisse d'urbanisme

**Herausgeber:** Schweizerische Vereinigung für Landesplanung

**Band:** 37 (1980)

**Heft:** 11

**Artikel:** Studien über Regenabflüsse in Siedlungsgebieten

**Autor:** Kaufmann, Peter

**DOI:** <https://doi.org/10.5169/seals-781974>

#### Nutzungsbedingungen

Die ETH-Bibliothek ist die Anbieterin der digitalisierten Zeitschriften auf E-Periodica. Sie besitzt keine Urheberrechte an den Zeitschriften und ist nicht verantwortlich für deren Inhalte. Die Rechte liegen in der Regel bei den Herausgebern beziehungsweise den externen Rechteinhabern. Das Veröffentlichen von Bildern in Print- und Online-Publikationen sowie auf Social Media-Kanälen oder Webseiten ist nur mit vorheriger Genehmigung der Rechteinhaber erlaubt. [Mehr erfahren](#)

#### Conditions d'utilisation

L'ETH Library est le fournisseur des revues numérisées. Elle ne détient aucun droit d'auteur sur les revues et n'est pas responsable de leur contenu. En règle générale, les droits sont détenus par les éditeurs ou les détenteurs de droits externes. La reproduction d'images dans des publications imprimées ou en ligne ainsi que sur des canaux de médias sociaux ou des sites web n'est autorisée qu'avec l'accord préalable des détenteurs des droits. [En savoir plus](#)

#### Terms of use

The ETH Library is the provider of the digitised journals. It does not own any copyrights to the journals and is not responsible for their content. The rights usually lie with the publishers or the external rights holders. Publishing images in print and online publications, as well as on social media channels or websites, is only permitted with the prior consent of the rights holders. [Find out more](#)

**Download PDF:** 12.02.2026

**ETH-Bibliothek Zürich, E-Periodica, <https://www.e-periodica.ch>**

# Studien über Regenabflüsse in Siedlungsgebieten

Von Peter Kaufmann, Ingenieur- und Planungsbüro Balzari Blaser Schudel AG, Bern.

## Zusammenfassung

Im Auftrag des Bundesamtes für Umweltschutz (BUS) untersuchten wir in den vergangenen Jahren die Regenabflüsse in Siedlungsgebieten und überprüften die in der Literatur empfohlenen Spitzenabflussbeiwerte. Zur Lösung dieser Aufgabe haben wir verschiedene Oberflächenmaterialien (Beton, Ziegel usw.) künstlich berechnet und natürliche Regenereignisse an Einzelflächen (Dachflächen, Parkplatz usw.) sowie an verschiedenen Überbauungsarten (Einfamilienhausgebiet, Mehrfamilienhausgebiet usw.) untersucht.

Dabei kamen wir zu folgenden Schlussfolgerungen:

- Mit Hilfe des Spitzenabflussbeiwertes kann der Starkregenabfluss zuverlässig bestimmt werden. In vielen Fällen sind aber die heute in der Praxis verwendeten Spitzenabflussbeiwerte zu hoch.
- Der Spitzenabflussbeiwert ergibt sich angenähert zu  $\psi_s = 0,85 \cdot \gamma$ , wobei  $\gamma$  den Anteil der befestigten Fläche (Dächer, Straßen usw.) an der Gesamtfläche darstellt.
- Der Spitzenabflussbeiwert kann auch als Summe der einzelnen Teilabflüsse von den befestigten Flächen ermittelt werden. Die dafür erforderlichen Grundlagen wurden erarbeitet.

## 1. Problemstellung und Untersuchungsablauf

### 1.1 Problemstellung und Ziel der Untersuchung

Von der auf eine Einzugsgebietsfläche  $F$  gefallenen Regenmenge ( $r \cdot F$ ) gelangt nur ein Teil in der Kanalisation zum Abfluss. Der Rest des Regenwassers geht durch Oberflächenbenetzung, Muldenauffüllung, Versickerung, Verdunstung usw. verloren. Der Anteil des abfließenden Wassers wird bei der Dimensionierung nach der Fließzeitmethode

$$Q_R = r \cdot F \cdot \psi_s \quad (1)$$

mit dem Spitzenabflussbeiwert  $\psi_s$  ausgedrückt.

Der für die Bemessung eines Abwasserkanales massgebende Spitzenabflussbeiwert  $\psi_s$  wird auf-

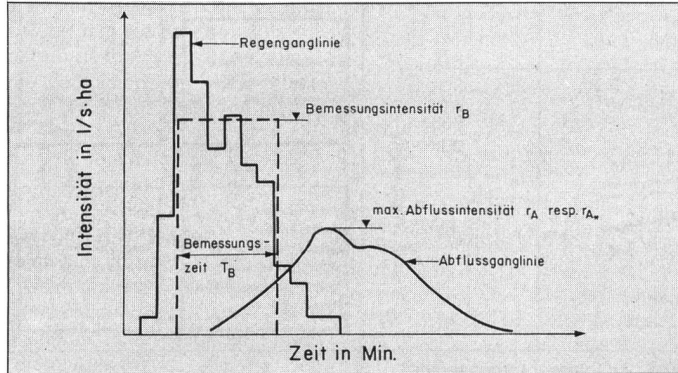


Abb. 1. Illustration der verwendeten Begriffe.

grund der Charakteristik des Siedlungsgebietes bestimmt. Je dichter das Gebiet überbaut ist, um so mehr abflusserzeugende Flächen sind vorhanden, das heißt um so mehr Regenwasser kommt zum Abfluss.

Dass die Regenwasserabflüsse nicht bei allen Oberflächenmaterialien gleich gross sind, ist offensichtlich. Die meisten Handbücher für Kanalisationstechnik enthalten denn auch Angaben über die für verschiedene Oberflächenbefestigungen (Ziegeldächer, Asphalt- und Betonstrassen usw.) einzusetzenden Abflussanteile. Dabei werden sehr oft ohne nähere Erläuterung grosse Wertbereiche angegeben und damit die Festlegung der Einzelwerte der individuellen Einschätzung überlassen.

Ziel unserer Studien über die Regenabflüsse in Siedlungsgebieten war daher die Ermittlung der Spitzenabflussanteile einiger ausgewählter Oberflächenmaterialien. Gelingt es nämlich, die von den einzelnen Teilflächen abfließenden Regenanteile genauer zu bestimmen als bisher, so können die Regenabflussmengen von Siedlungsgebieten bei gleichbleibender Sicherheit gegen Überstauungen zuverlässiger bestimmt werden.

### 1.2 Verwendete Definitionen

Massgebend für die Bemessung eines Abwasserkanales nach der Fließzeitmethode ist ein *Modellregen*, der während der massgebenden Regendauer – definiert als Bemessungszeit  $T_B$  (Min.) – mit einer konstanten Regenintensität niedergeht. Diese für die Bemessung massgebende Regenintensi-

tät wird im folgenden Bemessungsintensität  $r_B$  ( $l/s \cdot ha$ ) genannt. Da jeder Modellregen durch seine *Regenhöhe* vollständig definiert ist, haben wir die Spitzenabflussanteile bzw. -abflussbeiwerte in Funktion der Regenhöhe dargestellt.

$$\text{Regenhöhe } h_B \text{ (in mm)} \\ = \frac{r_B \cdot T_B \cdot 60}{10000} \quad (2)$$

Für die Kanalisationsberechnung sind vorab jene Flächen von Interesse, die sofort zu einem *bedeutenden* Abfluss führen. Es sind dies die sogenannten *befestigten* Flächen wie zum Beispiel Straßen, Dächer, Parkplätze, die an die Kanalisation angeschlossen sind. Im Gegensatz dazu erfolgt von den *unbefestigten* Flächen wie Gärten, Wiesen, Parkanlagen kein so wesentlicher Abfluss in die Kanalisation, dass dadurch der Maximalabfluss nennenswert beeinflusst würde (Ausnahme: steiles, nicht terrassiertes Gelände mit Neigungen über 10%, wie etwa Steilwiesen, Rebberge).

Aus diesem Grunde ist bei einem Siedlungsgebiet der Anteil der befestigten Flächen an der Gesamtfläche  $F$  für die Höhe des Maximalabflusses (bzw. für den Spitzenabflussbeiwert  $\psi_s$ ) von ausschlaggebender Bedeutung:

$$\text{Befestigungsanteil } \gamma \quad (3) \\ = \frac{\text{Anteil befestigte Flächen}}{\text{Gesamtfläche}}$$

Obwohl sich die befestigten Flächen bezüglich Abflussverhalten sehr stark von den unbefestigten unterscheiden, sind sie doch unter sich nicht als gleich zu betrachten. Die einzelnen Materialien unterscheiden sich bezüglich Wasser- aufnahme und Oberflächenebenheit (Mulden) sehr stark. Wir definieren deshalb für *einzelne befestigte* Flächen – wie zum Beispiel ein einzelnes Ziegeldach oder einen Parkplatz – das Verhältnis von Abflussspitze zur Regen- spitze als Spitzenabflussanteil  $\alpha_s$ .

$$\text{Spitzenabflussanteil } \alpha_s \quad (4) \\ = \frac{\text{max. Abflussintensität } r_A^* \text{ (l/s · ha}_\text{befestigt})}{\text{Bemessungsintensität } r_B \text{ (l/s · ha)}}$$

Die Abbildung 1 soll diese Definition für  $\alpha_s$  noch etwas verdeutlichen.

Analog zur Formel (4) gilt für den Spitzenabflussbeiwert  $\psi_s$ , der in der Dimensionierungsformel (1) eingesetzt wird, die Definition:

$$\text{Spitzenabflussbeiwert } \psi_s \quad (5) \\ = \frac{\text{max. Abflussintensität } r_A \text{ (l/s · ha}_\text{eff})}{\text{Bemessungsintensität } r_B \text{ (l/s · ha)}}$$

Der Spitzenabflussbeiwert  $\psi_s$  stellt also das Verhältnis von maximaler Abflussintensität zu mittlerer Regenintensität während der Bemessungszeit dar, das heißt den einen Starkregen zuzuordnenden, sofort abfließenden Oberflächenabfluss.

Bezeichnet man mit  $\gamma_1, \gamma_2, \dots, \gamma_m$  die prozentualen Anteile der  $m$  befestigten Einzelflächenarten eines Siedlungsgebietes an der Gesamtfläche dieses Gebietes und die zugehörigen Spitzenabflussanteile mit  $\alpha_{s1}, \alpha_{s2}, \dots, \alpha_{sm}$ , so lässt sich der Spitzenabflussbeiwert  $\psi_s$  dieses Gebietes nach der folgenden Gleichung, die auch bisher etwa verwendet wurde, berechnen:

$$\psi_s = \sum_{i=1}^m \gamma_i \cdot \alpha_{si} \quad (6)$$

### 1.3 Untersuchungsablauf

Zur Lösung der in Abschnitt 1.1 formulierten Aufgabenstellung wurde in Zusammenarbeit mit dem BUS folgender Untersuchungsablauf festgelegt. (Siehe Abb. 2.)

Mit den einzelnen Untersuchungsphasen ① bis ④ sollten folgende Zwischenziele erreicht werden:

① Untersuchung der Wasseraufnahme- bzw. -abgabefähigkeit verschiedener Baustoffe, um Vorstellungen über die Grossenordnung und den zeitlichen Verlauf dieser Prozesse zu erhalten.

② Analyse des Abflussverhaltens verschiedener Materialien unter Laborbedingungen zur Bestimmung der Einflussfaktoren auf Spitzendurchflussanteil und Verluste.

③ Prüfen, ob sich die unter Laborbedingungen beobachteten Ergebnisse auch im Freien bei beliebigem Regenverlauf einstellen würden.

④ Verifizieren der in Phase ③ erhaltenen Spitzendurchflussanteile an verschiedenen Überbauarten.

### 2. Laborversuche

#### 2.1 Die Wasseraufnahme und -abgabe von Oberflächenmaterialien

Wegen der weitverbreiteten Ansicht, befestigte Flächen wie Dächer, Straßen, Parkplätze usw. seien als »dicht« anzusehen und ein versickerungshämmlicher Verlust trete daher nicht auf, sind in der Literatur wenig Angaben über die Wasseraufnahme- und Wasserabgabefähigkeit solcher Oberflächenbefestigungen zu finden. Aus diesem Grunde haben wir mit kleinen Materialstücken aus Asphaltbeton, Beton, Ziegel und Eternit Beregnungsversuche durchgeführt, um genauere Informationen über die Wasseraufnahme und den Trocknungsprozess bei solchen Baustoffen zu erhalten.

#### Wasseraufnahme bei Dauerberegnung

Die Wasseraufnahmefähigkeit schwankt je nach Materialart, oft aber auch beim selben Baustoff je nach dessen Alter und Verarbeitungsqualität beträchtlich. Innerhalb der ersten 10 Minuten nach Regenbeginn konnten wir Werte zwischen 0,10 l/m<sup>2</sup> (Eternit) und 3,10 l/m<sup>2</sup> (neuer, ungebrauchter Flachziegel) registrieren. Die meisten Materialien nahmen die Hälfte oder mehr der gesamten Wassermenge, die sie aufnehmen können, innerhalb dieser ersten 10 Minuten auf.

Die totale Wasseraufnahmekapazität variierte bei den untersuchten Materialien zwischen 0,20 (Eternit)

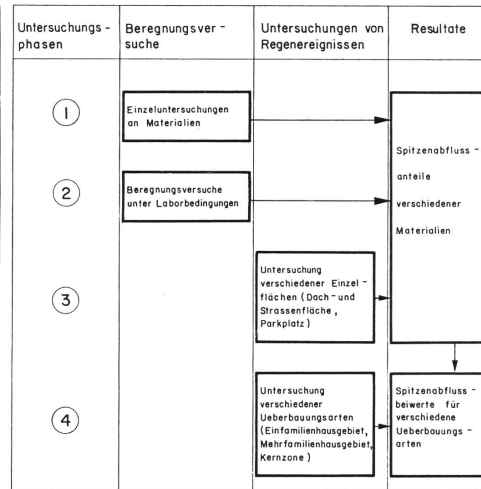


Abb. 2. Untersuchungsablauf.

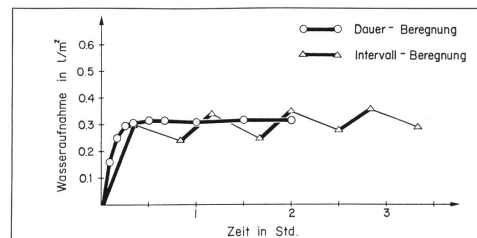


Abb. 3. Material: Asphaltbeton. Wasseraufnahme bei Dauer- und Intervall-Beregnung.

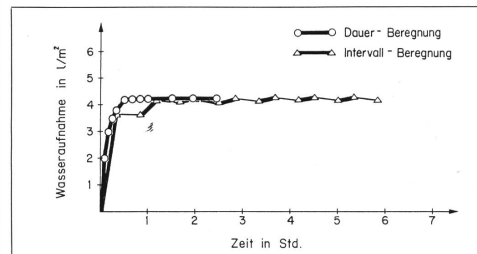


Abb. 4. Material: Ziegel neu. Wasseraufnahme bei Dauer- und Intervall-Beregnung.

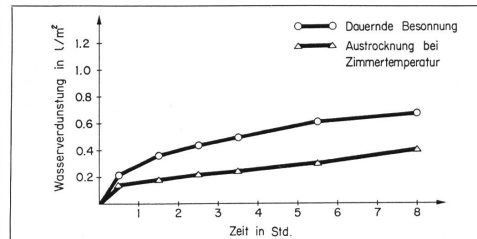


Abb. 5. Material: hochwertiger Beton. Wasseraufnahme bei dauernder Besonnung und bei Zimmertemperatur.

und 5,50 (alter, ca. 40jähriger Ziegel) l/m<sup>2</sup>. Damit wurden Werte gemessen, wie sie in diesem Ausmass wohl kaum erwartet werden konnten. (Siehe Abb. 3 und 4.)

#### Wasserabgabe

Der Trocknungsprozess bei Zimmertemperatur zeigte sich als kaum materialabhängig und verlief äusserst langsam. Etwas rascher trockneten die Materialien bei Sonnenbestrahlung, auch bestehen hier deutliche materialspezifische Unterschiede. Es ist aber doch bemerkenswert, dass beispielsweise ein neunstündiger Sonnentag nicht ausreicht, um ein Ziegel-dach oder eine gut verdichtete Betonplatte, die während einer Stunde intensiv beregnet wurden, vollständig auszutrocknen. (Siehe Abb. 5 und 6.)

#### 2.2 Beregnungsversuche

Hauptziel der Beregnungsversuche war die Analyse des Abflussverhaltens der Oberflächenma-

terialien unter verschiedenen Bedingungen. Zu diesem Zweck haben wir auf einer Versuchsanlage von 3,3 m<sup>2</sup> Beregnungsfläche die Faktoren

- Vorbefeuchtung
- Neigung der Versuchsfäche
- Beregnungsintensität

planmäßig untersucht.

Die Ergebnisse zeigen sehr deutlich das enge, interaktive Zusammenwirken der drei untersuchten Parameter. Es erwies sich demzufolge als außerordentlich schwierig, den Einfluss der einzelnen Faktoren auf die Verluste bzw. den Spitzendurchflussanteil *isoliert* herauszuarbeiten. Trotzdem konnten einige sehr wichtige Erkenntnisse gewonnen werden. (Siehe Abb. 7.)

#### Vorbefeuchtung

Auch hier ist kein eindeutiger Einfluss erkennbar. Das Bild zeigt sowohl steigende wie auch gleichbleibende und fallende Kurven. (Siehe Abb. 8.)

erkennen, wo bei benetzter Oberfläche wesentlich geringere Verluste auftreten. Bei Beton und Eternit war kein Einfluss feststellbar. Die unerwartet grosse Differenz beim Asphaltbeton ist auf die schlechte Materialqualität zurückzuführen.

#### Neigung der Versuchsfäche

Der Einfluss der Flächenneigung auf den Durchflussanteil ist nicht derart ausgeprägt und eindeutig wie derjenige der Vorbefeuchtung. Am stärksten wirkte sich die Vergrösserung des Neigungswinkels wiederum beim Asphaltbeton aus. Da die Versuchsplatten weder Mulden noch grobe Unebenheiten aufwiesen, muss vermutet werden, dass auch hier die relativ schlechte Materialqualität eine Rolle spielte.

#### Beregnungsintensität

Auch hier ist kein eindeutiger Einfluss erkennbar. Das Bild zeigt sowohl steigende wie auch gleichbleibende und fallende Kurven. (Siehe Abb. 8.)



Abb. 16. Einfamilienhausgebiet Riedli.

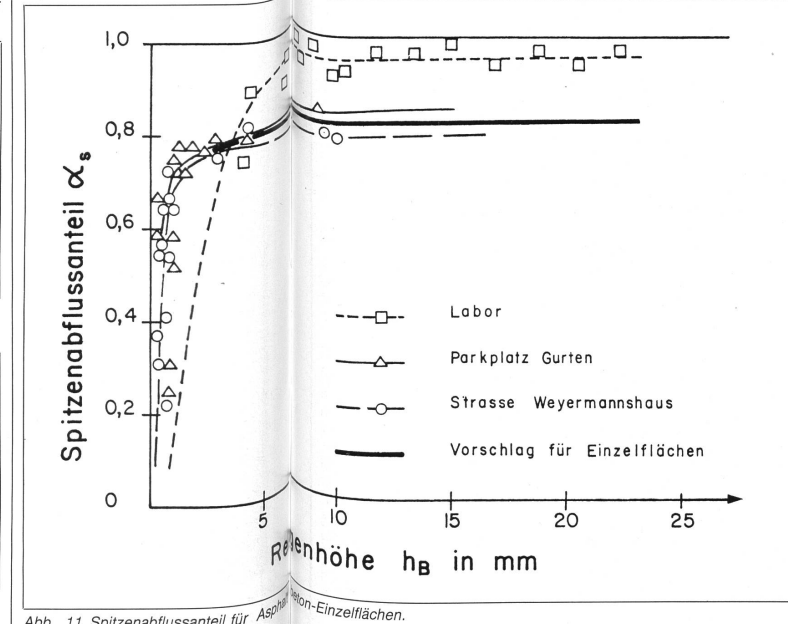


Abb. 11. Spitzendurchflussanteil für Asphalt-Einzelflächen.

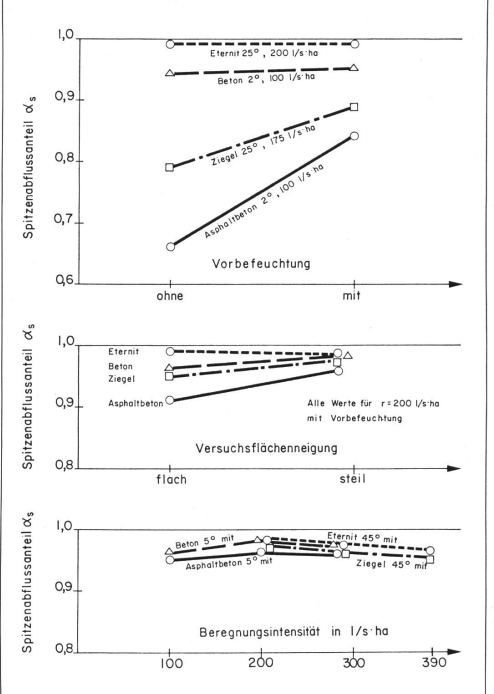


Abb. 8. Beregnungsversuche im Labor: Einfluss der Parameter Vorbefeuchtung, Versuchsfächeneinigung, Regenintensität auf den Spitzendurchflussanteil α\_s.



Abb. 7. Blick auf die Versuchsanlage.

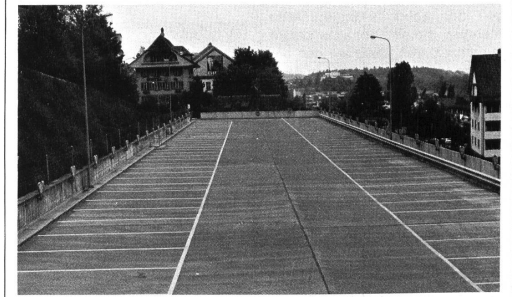


Abb. 9. Einzelfläche Parkplatz Gurten.

### 3. Untersuchungen von Regenereignissen an verschiedenen Einzelflächen

Ausschliesslich aus Beregnungsversuchen im Labor gewonnene Spitzenabflussanteile hätten für die praktische Anwendung nur eine sehr geringe Aussagekraft. Aus diesem Grunde haben wir auf vier Einzelflächen im Freien Regen- und Abflussmessgeräte installiert und die Regenereignisse ausgewertet.

Wie erwartet, stellten wir auf den Einzelflächen höhere Verluste fest als im Labor infolge von Muldenauffüllungen, Versickerungen in Fugen, Verwehen usw. Die massgebende Regenintensität entsprach bei den Beregnungsversuchen der pro Versuch als konstant gewählten Beregnungssintensität. Bei den Regen von den Einzelflächen musste zuerst aus den Pluviographenkurven die maximal auftretende Regenhöhe innerhalb der Bemessungszeit von 5 Minuten abgelesen und daraus die Bemessungsintensität berechnet werden.

#### 3.1 Asphaltbetonflächen

Da Asphaltbeton der meistverwendete Strassenbelag ist, haben wir zwei Einzelflächen mit diesem Material getestet.

Bei der Einzelfläche Parkplatz Gerten handelt es sich um eine rechteckige Parkplatzfläche von 1695 m<sup>2</sup> Grösse. Der Parkplatz weist ein Quergefälle von 2% auf und ist relativ eben, doch hat der Platz auch einzelne Mulden, in denen Regenwasser zurückgehalten wird. (Siehe Abb. 9.)

Die zweite Testfläche Weyermannshaus ist eine Strassenfläche von 1406 m<sup>2</sup> Grösse und ca. 80 m Länge. Die Strasse hat ein gleichmässiges Längs- und Quergefälle von ca. 2%. (Siehe Abb. 10.)

Bei beiden Einzelflächen konnten wir für den Fall mit Vorbefeuchtung eindeutige Kurven ermitteln, deren  $\alpha_s$ -Mittelwert für 5 bis 20 mm Regenhöhe auf einem Wert von ca. 0,80 praktisch konstant bleibt. Sehr deutlich unterscheiden sich die Ergebnisse der Einzelflächen von den Laborresultaten. Diese Mehrverluste sind vor allem darauf zurückzuführen, dass auf den natürlichen Flächen Wasser in Mulden und Unebenheiten zurückgehalten wird und nicht in den Abfluss kommt. Zusätzlich ergeben sich bei grösseren Regenhöhen noch weitere, nur schwer erfassbare Verluste, wie zum Beispiel Abflüsse in unbefestigte Flächen. Rückstauungen auf den Wasserläufen und in den Ablaufröhren führen zu einer weiteren Reduktion der Abfluss spitze und damit zu einer Verringerung des Spitzenabflussanteiles  $\alpha_s$ . (Siehe Abb. 11.)



Abb. 10. Einzelfläche Strasse Weyermannshaus.



Abb. 12. Einzelfläche Ziegeldach Gümligen.

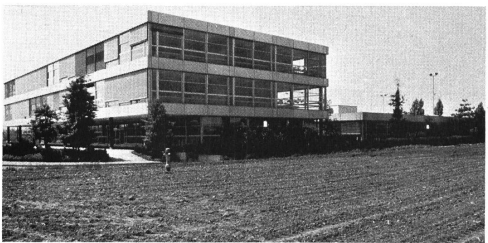


Abb. 14. Einzelfläche Kiesklebedach Altikofen.



Abb. 18. Versuchsgebiet Heuried.



Abb. 21. Versuchsgebiet Länggasse Bern.

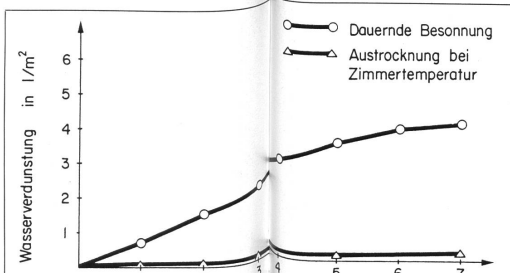


Abb. 6. Material: Ziegel alt. Wasserabgabe  $\alpha_s$  bei dauernder Besonung und bei Zimmertemperatur.

#### 3.2 Ziegelflächen

Bei der Einzelflächenuntersuchung Ziegeldach Gümligen konnten wir eine Dachfläche von 360 m<sup>2</sup> Grösse und einer Neigung von 20° untersuchen. (Siehe Abb. 12.)

Interessant ist, dass die Spitzenabflussanteile der Einzelfläche Gümligen markant niedriger sind als bei den Laborversuchen mit Vorbefeuchtung. Dies erklärt sich einerseits in der unterschiedlichen Materialqualität – beim Ziegeldach Gümligen handelt es sich um ältere Ziegel, deren Wasseraufnahmevermögen gegenüber den Laborziegeln etwas grösser ist – anderseits sind auch bei einer Dachfläche im Freien Mehrverluste gegenüber Laborberechnungen infolge Verwehungen, Abspritzen, Speicherungen in den Ablaufleitungen usw. festzustellen. Sehr anschaulich zeigt Abbildung 13 auch den Einfluss der Vorbefeuchtung auf  $\alpha_s$  bei neuen Ziegeln im Beregnungsversuch.

#### 3.3 Kiesklebedach

Bei der Einzelfläche Kiesklebedach Altikofen handelt es sich um zwei grosse Kiesklebedächer von 3266 m<sup>2</sup> Grösse einer Schulanlage. Die Kiesklebedächer weisen den üblichen Aufbau auf: Die verklebten Dachpappen sind mit einer Sandschicht und darüber mit einer groben Kiesschicht abgedeckt. (Siehe Abb. 14.)

Wie die Resultate zeigen, unterscheidet sich ein Kiesklebedach sehr deutlich von den übrigen Dachflächen. Verantwortlich für die extrem kleinen Spitzenabflussanteile ist das hohe Wassерretentionsvermögen dieser Dächer. Da wir während der ganzen Messperiode keine eigentlichen Starkregen registrieren konnten, kann aus den Resultaten keine eindeutige Abhängigkeit für  $\alpha_s$  bestimmt werden. In Analogie zu den übrigen Kurven haben wir die in Abbildung 15 gestrichelt eingezeichnete

1,4 ha, wobei der Anteil der befestigten Fläche an der Gesamtfläche 43 % beträgt. (Siehe Abb. 18.)

Zwischen den gemessenen und den gerechneten Werten konnte eine gute Übereinstimmung festgestellt werden. Die untersuchten Regen ergaben bei einer massgebenden Bemessungszeit von 6 Minuten Spitzenabflussbeiwerte  $\psi_s$  zwischen 0,20 und 0,36. Der rechnerisch ermittelte Spitzenabflussbeiwert liegt bei  $\psi_s = 0,37$ . (Siehe Abb. 19.)

#### Mehrfamilienhausgebiet Küngennatt

Das Mehrfamilienhausgebiet Küngennatt liegt unmittelbar neben dem Gebiet Heuried und weist eine ähnliche Blocküberbauungsart auf. Wiederum sind bei den befestigten Flächen die Materialien Asphaltbeton und Ziegel am meisten vertreten. Der Befestigungsanteil liegt bei ca. 40 %. Auch hier konnte eine gute Übereinstimmung zwischen den gemessenen und den gerechneten Werten festgestellt werden. Die sich für eine Bemessungszeit von 6 Minuten ergebenden gemessenen Spitzenabflussbeiwerte liegen im Bereich von  $\psi_s = 0,19$  bis 0,35. Der rechnerisch ermittelte Spitzenabflussbeiwert ergibt einen massgebenden Wert von  $\psi_s = 0,35$ . (Siehe Abb. 20.)

#### 4.3 Wohn- und Gewerbegebiet Länggasse

Das Versuchsgebiet Länggasse ist eine typische Stadtkerzone mit Wohn- und Gewerbebauten. Das Gebiet ist vollständig überbaut mit meist 6geschossigen Wohn- oder Industriebauten. Im weiteren besteht das Gebiet aus Hinterhöfen, Parkplätzen, Plätzen, einer kleinen Grünanlage und kleinen Vorgärten. (Siehe Abb. 21.)

Die Gesamtfläche des Versuchsgebietes beträgt ca. 8,4 ha und hat einen Befestigungsanteil von 66 %. Auch hier stimmen die gerechneten und gemessenen Spitzenabflussbeiwerte  $\psi_s$  sehr gut überein, wobei sich der für dieses Gebiet massgebende Spitzenabflussbeiwert zu  $\psi_s = 0,53$  ergibt. (Siehe Abb. 22.)

Zusammenfassend kann gesagt werden, dass die geringen Abweichungen zwischen gemessenen und gerechneten Spitzenabflussbeiwerten die Brauchbarkeit der vorgeschlagenen Methode zur Bestimmung des Spitzenabflussbeiwertes bestätigen. Es stellt sich heraus, dass die zeitliche Verschiebung der Abfluss spitzen von untergeordneter Bedeutung ist und die Superposition gemäss Gleichung (6) zulässig ist.

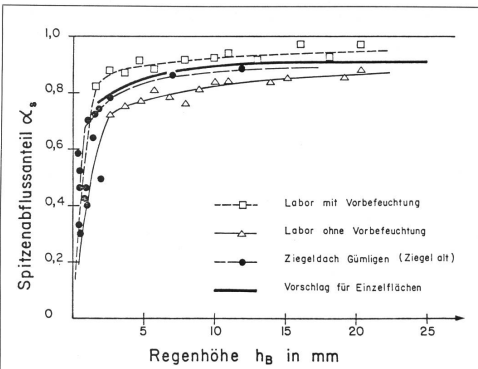


Abb. 13. Spitzenabflussanteil für Ziegeldach-Einzelflächen.

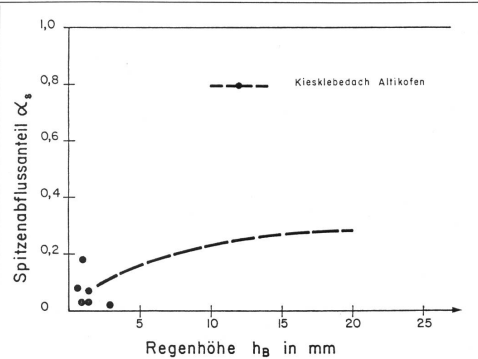


Abb. 15. Spitzenabflussanteil für Kiesklebedach-Einzelflächen.

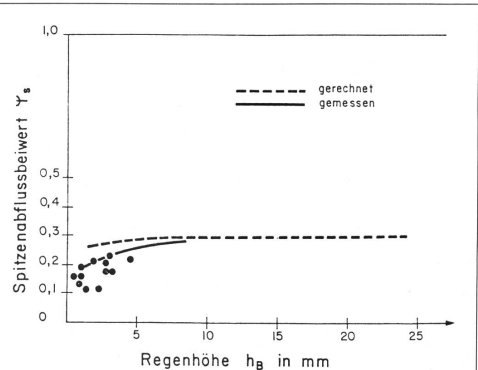


Abb. 17. Einfamilienhausgebiet Riedli: gemessene und gerechnete Spitzenabflussbeiwerte.

### 5. Schlussfolgerungen für den praktisch tätigen Ingenieur

#### 5.1 Ergebnisse aus den Laborversuchen

Die Ergebnisse der Beregnungsversuche zeigen deutlich, dass

nicht nur bei unbefestigten, sondern auch bei befestigten Flächen mit einer zum Teil sehr bemerkenswerten Versickerung gerechnet werden kann. So nimmt eine schlecht verdichtete Betonplatte

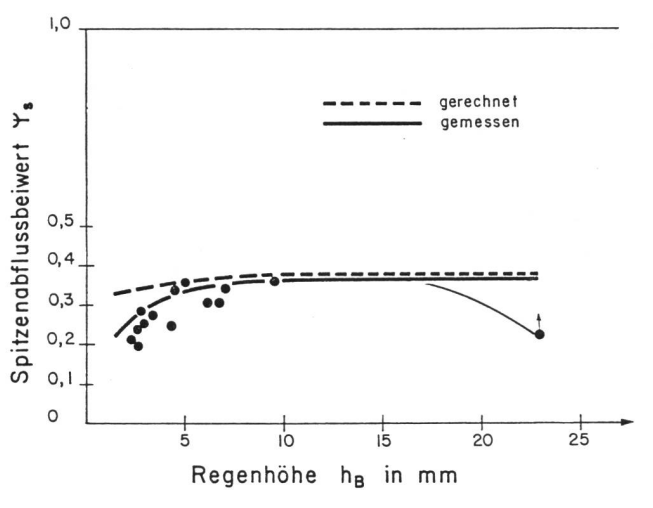


Abb. 19. Mehrfamilienhausgebiet Heuried: gemessene und gerechnete Spitzenabflussbeiwerte.

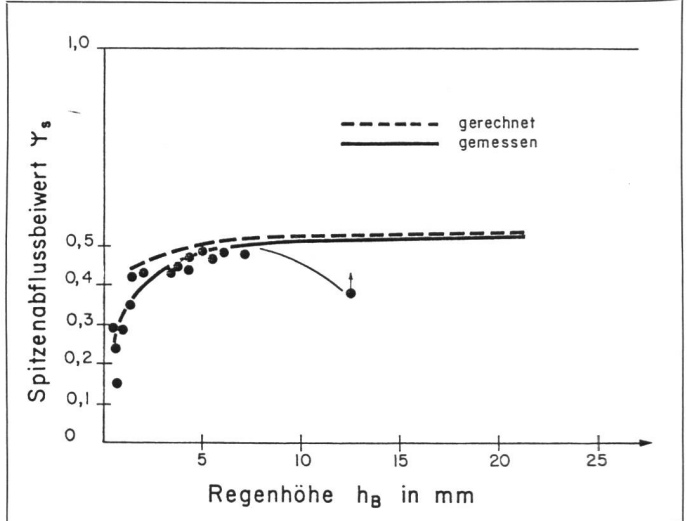


Abb. 22. Wohn- und Gewerbegebiet Länggasse: gemessene und gerechnete Spitzenabflussbeiwerte.

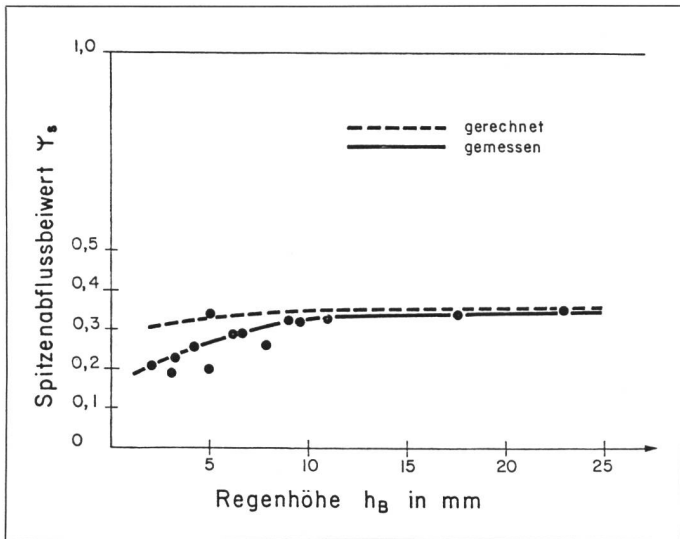


Abb. 20. Mehrfamilienhausgebiet Küngelmatt: gemessene und gerechnete Spitzenabflussbeiwerte.

während 2 Std. zirka 4 l/m<sup>2</sup> Wasser auf und ein alter Flachziegel sogar 5,5 l/m<sup>2</sup> in ca. 1,5 Std.

Massgebend für die Grösse der Versickerung ist die Qualität der Oberflächenbefestigung.

Eine wichtige Einflussgrösse ist ebenfalls die Vorbefeuchtung. Da bei der Bemessung von Kanalisationen die bei gegebener Regenintensität und Regendauer grösstmögliche Abflussintensität interessiert, bedeutet dies, dass bei der Bestimmung der anzuwendenden Spitzenabflussanteile von vorbefeuchteten Oberflächen ausgegangen werden muss, weil dies den ungünstigeren Fall darstellt.

Dagegen haben die Neigung der Versuchsfäche und die Beregnungsintensität einen geringen Einfluss auf die Regenverluste.

(Verhältnis von maximaler Abflussintensität zu Bemessungsintensität) durch Versuche bestimmt werden. (Siehe Abb. 23.)



Für weitere Einzelflächen, wie zum Beispiel Pflasterung, Blechdach, haben wir in Tabelle 25 ebenfalls Werte aufgrund von Literaturstudium und Abflussbetrachtungen eingesetzt. Die gemessenen Werte sind im üblichen Dimensionierungsbereich von 10–20 mm Regenhöhe praktisch konstant, so dass für die Anwendung in der Praxis pro Material ein Wert abgegeben werden kann.

## 5.2 Ergebnisse aus den Untersuchungen von Einzelflächen

Für die am häufigsten vorkommenden Oberflächenmaterialien können die Spitzenabflussanteile  $\alpha_s$

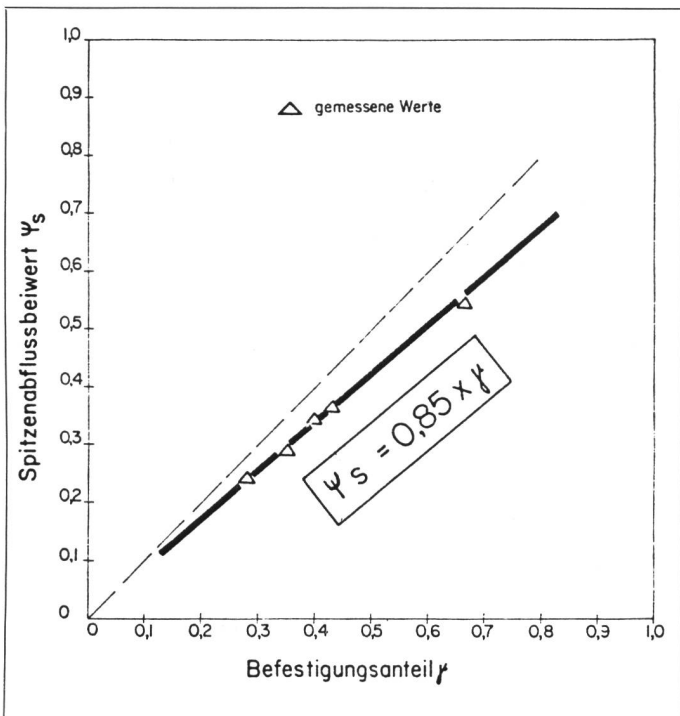


Abb. 24. Diagramm zur Bestimmung des Spitzenabflussbeiwertes.

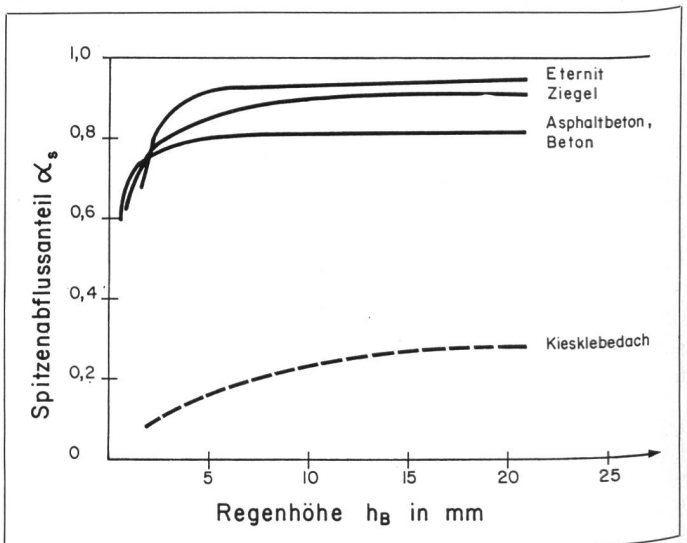


Abb. 23. Spitzenabflussanteile von Einzelflächen.

|                                  | Spitzenabflussanteil $\alpha_s$ |
|----------------------------------|---------------------------------|
| <u>Dächer</u>                    |                                 |
| - Ziegel                         | 0.90                            |
| - Eternit                        | 0.95                            |
| - Kiesklebe                      | 0.25                            |
| - Blech, Schiefer                | 0.95                            |
| <u>Strassen und Plätze</u>       |                                 |
| - Asphaltbeton                   | 0.80                            |
| - Beton                          | 0.80                            |
| - Pflasterung ohne Fugenverguss  | 0.50                            |
| - wassergebundene Schotterdecken | 0.25                            |
| - Rasengittersteine              | 0.15                            |
| <u>Grünflächen</u>               |                                 |
| - Garten, Wiesen, Parkanlage     | 0                               |
| - Wald                           | 0                               |
| - Rebberge, nicht terrassiert    | 0.30 ± 0.50                     |
| - Steilwiesen (Gefälle >10 %)    | 0.30 ± 0.50                     |

Abb. 25.

| Charakterisierung der Bauzone<br>alt<br>bestehende<br>Überbauung         | neu<br>Zonenvorschriften                    | Typische Kennziffern |       | Typische Flächenanteile (%)               |   |       |    | Spitzen-<br>abfluss-<br>beiwert<br>$\psi_s$ |      |
|--|---|----------------------|-------|---|---|-------|----|---|------|
| Ausnutzungs-<br>ziffer   | Geschoss-<br>zahl                           | Parkierung           | Dach  | Strasse                                   | Park-<br>plätze                                   | Total |    |   |      |
| freistehende EFH<br>sehr lockere Überbauung                              | W1, E1, E2, WL, L                           | 0.2                  | 1 - 2 | individuell                               | 12  | 15    | 3  | 30  | 0.25 |
| freistehende EFH<br>dichte Überbauung                                    | W2, E2                                      | 0.3                  | 2     | individuell                               | 15  | 15    | 5  | 35  | 0.30 |
| verdichtete EFH-<br>Überbauung (Zeilen-<br>Atriumüberbauung)             | Zone für Sonderbau-<br>vorschriften, W2     | 0.4                  | 1 - 2 | mind. teilw.<br>kollektiv<br>u. unterird. | 18  | 17    | 5  | 40  | 0.35 |
| lockere MFH-<br>Überbauung   | W2  | 0.4                  | 2 - 3 | oberirdisch<br>u. indiv.<br>Garagen       | 15  | 15    | 5  | 35  | 0.30 |
| ziemlich dichte<br>MFH-Überbauung  | W3  | 0.6                  | 3     | oberirdisch<br>u. indiv.<br>Garagen       | 20  | 15    | 10 | 45  | 0.40 |
| MFH-Gesamtüber-<br>bauung  | W3, W4<br>Zone für SBV<br>Zone für Gesamtü. | 0.6 - 0.7            | 3 - 6 | Tiefgarage                                | 18  | 15    | 5  | 38  | 0.35 |
| gemischte Wohn-/<br>Gewerbezonen<br>locker überbaut                      | WG2, WG3                                    | 0.5 - 0.6            | 2 - 3 | individuell                               | 30  | 15    | 10 | 55  | 0.45 |
| gemischte Wohn-/<br>Gewerbezonen<br>dicht überbaut                       | WG2, WG3, WG4                               | 0.6 - 0.7            | 2 - 4 | individuell                               | 40  | 15    | 15 | 70  | 0.60 |
| Dorfkernzone   | D   | 0.5                  | 2 - 3 | individuell                               | 30  | 20    | 5  | 55  | 0.45 |
| Stadt kernzone   | K   | bis 1.0              | 3 - 5 | individuell                               | 40  | 30    | 5  | 75  | 0.65 |
| Sonderbauformen wie<br>Terrassenüberb.,<br>Hochhäuser, verd.<br>Flachbau | *   | *                    | *     | *   | gemäß besonderer Untersuchung<br>nach Vorschlag A |       |    |   |      |

Abb. 26.

Abb. 25. Spitzenabflussanteile von Einzelflächen.

### 5.3 Empfehlungen für die Bestimmung des Spitzenabflussbeiwertes

Die Untersuchungen der Regenverluste in Siedlungsgebieten zeigen, dass mit Hilfe des Spitzenabflussbeiwertes der Abfluss von Gewitterregen zuverlässig bestimmt werden kann. Die heute in der Praxis verwendeten Spitzenabflussbeiwerte sind aber in vielen Fällen zu hoch.

Für die Bestimmung des Spitzenabflussbeiwertes  $\psi_s$  ist der Befestigungsanteil  $\gamma$ , das heisst, der Anteil der befestigten Fläche (z. B. Dächer, Straßen) an der Gesamtfläche, der massgebende Parameter.

Ist die Grösse der befestigten Flächenarten eines Siedlungsgebietes bekannt, so kann der Spitzenabflussbeiwert  $\psi_s$  eines Gebietes als Summe der einzelnen Teilabflüsse von den befestigten Flächen mit Hilfe der Gleichung

$$\psi_s = \sum_{i=1}^m \gamma_i \cdot \alpha_{s_i} \quad (6)$$

zuverlässig berechnet werden. Da bei bezeichnen  $\gamma_1, \gamma_2 \dots \gamma_m$  die prozentualen Anteile der  $m$  befestigten Flächenarten an der Gesamtfläche und  $\alpha_{s_1}, \alpha_{s_2} \dots$  die zugehörigen Spitzenabflussanteile.

Da die  $\alpha_s$ -Werte für die Projektierung als konstant angenommen werden können, gilt dies sinngemäss auch für  $\psi_s$ .

Aufgrund des gesamten Befestigungsanteils  $\gamma$  als Summe der Befestigungsanteile  $\gamma_1$  bis  $\gamma_m$  ergibt sich der Spitzenabflussbeiwert für ein Siedlungsgebiet auch angenähert zu

$$\psi_s = 0.85 \cdot \gamma$$

Die  $\psi_s$ -Werte der untersuchten Überbauungsarten liegen sehr nahe auf dieser Geraden. (Siehe Abb. 24.)

Für Neubaugebiete kann der massgebende Spitzenabflussbeiwert  $\psi_s$  aufgrund der Charakterisierung der Bauzonen nach Kriterien, die mit dem Befestigungsanteil  $\gamma$  in enger Beziehung stehen, der nebenstehenden Tabelle 26 entnommen werden.

## Vogt-Schild-Tischkalender 1981



### 2 Monate stets vor Augen!

Für Tisch und Pult, im Büro oder zu Hause. Breite 9,5 cm, Höhe 13 cm, Tiefe 9 cm

#### Verkaufspreise

| Anzahl                              | 1    | 25   | 50    |
|-------------------------------------|------|------|-------|
| Fr./Stück                           | 3.90 | 3.70 | 3.55  |
| <b>Werbeaufdruck (ab 100 Stück)</b> |      |      |       |
| Fläche für Druck: 9x1,5 cm          |      |      |       |
| Verkaufspreise für Werbeeindruck    |      |      |       |
| Anzahl                              | 100  | 500  | 1000  |
| Fr.                                 | 75.- | 95.- | 120.- |

### Bestellcoupon

Wir bestellen \_\_\_\_ VS-Tischkalender 1981

- ohne Werbeeindruck  
 mit Werbeeindruck

Name \_\_\_\_\_

Beruf \_\_\_\_\_

Adresse \_\_\_\_\_

Datum \_\_\_\_\_

Unterschrift \_\_\_\_\_

Bitte ausschneiden und einsenden an  
Vogt-Schild AG, Kalenderverlag, Post-  
fach, CH-4501 Solothurn.

4011